

대화기능에 의한 모바일로봇의 실시간 주행제어 Real-Time Travelling Control of Mobile Robot by Conversation Function Based on Voice Command

심병균^{1*}, 이우송², 한성현³

Byoung-Kyun Shim^{1*}, Woo-Song Lee², Sung-Hyun Han³

<Abstract>

We describe a research about remote control of mobile robot based on voice command in this paper. Through real-time remote control and wireless network capabilities of an unmanned remote-control experiments and Home Security / exercise with an unmanned robot, remote control and voice recognition and voice transmission are possible to transmit on a PC using a microphone to control a robot to pinpoint of the source. Speech recognition can be controlled robot by using a remote control. In this research, speech recognition speed and direction of self-driving robot were controlled by a wireless remote control in order to verify the performance of mobile robot with two drives.

Keywords : Voice Command, Remote Control, Voice Recognition Algorithm

1. 서론

지능형 이동로봇에 대한 연구가 활발히 진행됨에 따라 지능 로봇은 향후 일상생활 용품의 하나로서 자리 잡을 가능성을 보이며, 많은 관련 기술의 개발이 이루어지고 있다. 지능로봇 기술의 발전과 더불어 사람과 로봇의 상호작용을 위한 많은 방법들이 제안되어지고 있다. 주로 음성, 영상, 동작 등을 통한 상호 작용들이 제안되어지고 있는데 로봇이 기존의 고정된 매니플레이터 형태에서 이동로봇의 형태로 진화함에 따라 사람과 로봇의 상호작용을 위한 기술인 음성명령에 의한 제어 기술의 필요성이 더욱 커지고 있다. 따라서 자율주행 이동로봇은

공간 이동성과 특수 기능성을 기반으로 공장자동화, 사무실자동화, 설비관리, 무인탐사 등 다양한 분야에 응용이 가능하고, 특히 인간을 대신하여 작업을 할 수 있는 시스템의 개발에 자율주행 로봇의 활용이 다양한 형태로 연구되고 있고, 이를 통한 개발 후 실적용 사례도 급증하고 있다. 음성인식 및 화자인식 현재의 기술에서 로봇 응용을 위한 원격 마이크 환경의 전처리 음질향상을 위해서는 어레이 신호처리 기술이 필수적이며, 현재기술은 저주파 부분의 잡음 제거 효과가 상대적으로 저조하고 방향 감지 성능에의 의존도가 큰 문제가 있다. 또한 음성 언어 후처리 기술은 현재 초기 연구단계로 아직 보편적으로 표준화된 연구결과가 없는 상태이며, 어휘 또는 간단한 구문/의미단계 지식만

^{1*}정회원, 교신저자, 경남대학교 첨단공학과,
E-mail:shimbk@kyungnam.ac.kr

²정회원, 성산암테크 연구소장, 工博

³정회원, 경남대학교 기계공학부 교수, 工博

^{1*}Corresponding Author, Dept. of Advanced Engineering, Kyungnam University.

²Director, R&D Center, SungSanamdeco Co. Ltd., Ph. D.

³Prof., School of Mechanical Engineering, Kyungnam University, Ph. D.

으로 수정하는 방식이 사용되고 있다.

대화 모델링을 위한 현재의 접근방식들은 지식 집약적인 접근 방식으로서 강건성 유지와 영역 확장이 어려운 문제점을 지니며, 대화모델의 개념적 부분 이외에 해당언어 특성에 대한 고려도 필요하다.

최근 로봇 시스템의 제어기는 조절하려는 시스템의 운동방정식을 알고 있을 때만 가능하다. 그러나 이동로봇의 구조는 로봇의 운동방정식이 비선형성을 나타냄으로써 대부분의 경우 운동방정식을 정확히 구하지 못하는 경우가 많다. 또한, 널리 사용되는 고전적 제어의 경우 이득값이 고정되어 있으므로 이러한 고전적 제어방법은 외부환경의 변화에 대응할 수 없으므로 제어성능에 한계점을 드러내고 있다. 본 연구에서 설계되는 음성인식에 의해 제안된 로봇 시스템의 주요 특징을 요약하면 다음과 같다.

무선 네트워크를 통한 실시간 원격제어와 무인원격제어기능을 하며 Home Security, 실험/실습 및 음성인식을 사용한 무인 로봇 원격제어가 가능하고 음성전달 방법은 PC상의 송신 마이크로폰을 이용하여 음원을 분석 후 로봇을 제어 할 수 있으며 음성인식 리모컨을 사용하여 로봇제어가 가능하도록 하였다.

본 연구에서는 음성인식을 이용하여 자율주행 로봇의 속도 및 방향 제어를 무선통신 원격제어에 의하여 수행되어 이동로봇 제어기의 성능이 검증된다.

2. 소리인식 알고리즘

2.1 개요

로봇이 명령어(Keyword)만을 인식하거나, 명령어 전후에 임의의 음성이 발생되어도 명령어만을 추출하여 인식하거나, 또는 정형화된 문장 형태로 발음된 음성을 인식하여 명령을 수행하는 기술을 말하며 여기서는 회자독립방식에 의한 음성인식알고리즘을 이용한 로봇 원격 제어를 수행하였다.

2.2 비전 시스템의 구성 요소

(1) 인식대상단어

Automatic Speech recognizer(ASR, 음성인식기)는 미리 정해져 있는 인식대상단어나 문장을

인식하도록 구성되어 있다. 인식기는 수백 msec정도의 utterance를 입력으로 받아서 발성음에서 noise와 음성을 구분해서 인식대상단어 중 utterance와 주파수특성이 가장 유사한 단어를 추정하게 된다.

(2) Hidden Markov Models(HMM)

Hidden Markov Models(HMM)은 음성데이터를 통계적으로 modeling한 것으로 word나 sub-word (e.g. phoneme)를 구성하는데 사용된다. 각 model은 음성데이터를 사용하여 통계적으로 음성데이터를 가장 잘 표현할 수 있도록 계산된 것으로, ‘training’ 이라고 한다. Training에 사용되는 음성데이터는 인식에 사용될 수 있는 음성데이터들의 대표집단으로 구성되어야 하지만, 일반적으로 그렇지 못하기 때문에 model을 인식에 사용되는 음성데이터와 유사하게 수정하는 ‘adaptation’ 과정이 필요하게 된다. Training에 사용되는 음성데이터를 한 사람에게서 모두 받으면 ‘speaker dependent system’ 이라고 하며, 다양한 사람들로부터 많은 음성데이터를 받아서 training하는 경우 ‘speaker - independent system’ 기법을 적용하였다.

(3) 끝점 탐색(End Point Detection)

인식대상단어는 단어가 될 수도 있고, 문장이 될 수도 있다. 그래서 사용자는 정해지지 않은 임의의 기간 동안 발성하게 되므로, 인식시스템도 음성이 시작되는 부분과 끝나는 부분을 추정하여 음성구간동안 인식을 하고 음성이 끝나면 인식결과를 사용자에게 알려주어야 한다. 이와 같이 음성이 시작되는 구간과, 단어사이의 pause는 무시하고 사용자의 전체 발성이 끝나는 곳을 검출하는 module을 end point detection기법으로서 화자독립방식의 실현에 적용하였다.

(4) Front End

인식률과 효율성을 높이기 위해 HMM은 음성데이터를 바로 모델링하지 않고, 음성데이터를 Mel-frequency cepstral coefficients(MFCC) 같은 음성특징벡터로 변환시켜서 modeling한다. 이 변환과정을 ‘front end’ 부분에서 수행되어지는 ‘feature extraction’ 기법을 적용하여 실행하였다.

(5) Parser

인식기가 실제로 인식하기 위해서는 sub-word

model들로 구성된 인식 네트워크와 utterance가 가장 match가 잘되는 path를 찾아야 하는데, 인식기에서 path를 찾는 기능인 ‘parser’ 라고 하는 기능을 구비하고 있다.

(6) Rejection

음성인식시스템이 오인인식을 일으키게 하는 많은 이유들이 있기 때문에 방언을 사용한다든지, 인식기의 training시에 사용되지 않은 억양으로 발성을 한다든지, 배경잡음이 높거나, 인식기의 인식대상단어로 등록되어 있지 않은 단어나 문장을 발성하는 경우 등으로 인해 오인식이 발생한다. 이러한 이유로 인해 인식기에서는 거절기능인 ‘rejection’ 기능을 가지고 있는데, 이 기능은 인식기에서 인식결과의 신뢰도를 추정하여 신뢰도가 낮은 경우 사용자에게 인식결과를 검증할 수 있도록 하는 기능을 구비하고 있다.

2.3 소리인식 구조

Fig. 1은 소리인식 시스템의 개념적인 model이다. Endpoint detection에서 음성의 시작점을 검출하면, 검출된 음성에 대해서 front end feature extraction에서 MFCC로 변환하고, MFCC를 이용하여 acoustic matcher에서 speech model과 acoustic score를 구한다. 그리고 score를 이용하여 인식 network를 parsing해서 인식된 결과가 나오면 rejection에서 음성의 신뢰도를 평가하게 된다.

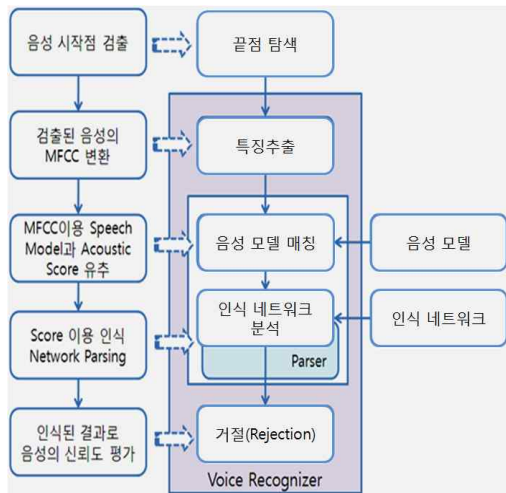


Fig. 1. Schematic diagram of voice recognition algorithm.

2.4 화자인식 방법

설정화자인식은 화자식별 기술과 화자검증 기술로 나눌 수 있다. 화자식별 기술은 고립 단어인식과 개념이 비슷하다. 고립단어인식은 발화된 음성과 가장 가까운 단어를 등록된 인식 대상 단어 중에서 찾아낸다. 마찬가지로 화자식별도 등록된 화자 중에서 가장 유사한 화자를 골라내는 것이다. 화자 검증 기술은 핵심어인식처럼 승인과 거절과정을 거치게 된다. 이 과정은 기준 패턴과 입력 패턴을 서로 비교해 미리 정해 놓은 발생 확률 값을 넘으면 승인하고, 그렇지 않으면 거절하는 것이다. 이를 응용하면 음성 자물쇠로 이용할 수 있다.

화자인식 시스템을 어떤 형태로 구현할 것인가의 관점에서 보면, 문맥 종속과 문맥 독립으로 나눌 수 있다. 문맥 종속은 정해진 말, 즉 미리 정해 놓은 단어나 문장 등을 뜻 한다. 문맥 종속 시스템의 경우에는 그 특성 때문에 DTW(Dynamic Time Wrapping) Algorithm을 사용해 성능이 좋은 반면 다른 사람이 정해진 말을 엿듣고 흉내 낼 우려가 있다. 문맥 독립은 미리 정한 말이 없이 아무 말이나 하는 것이다. 문맥 독립 시스템의 경우 HMM Algorithm을 많이 사용해 문맥 종속 시스템의 단점을 감소시킬 수 있다. 참고로 미국의 경우 1,000명의 다른 사람이 시험한 결과 1명 이하의 사람을 잘못 승인하고, 100번 발성해 1번 이하의 잘못된 거절(False Rejection)을 화자인식 시스템의 최소 규격으로 삼고 있다.

DTW 기법은 기준이 되는 음성신호의 패턴과 입력된 음성 신호간의 유사도를 동적 프로그래밍을 이용해 구하는 방법이다.

3. 소리기반 주행명령제어

소리인식 자율주행 로봇에서 음성원격제어가 다른 인터페이스보다 뛰어난 점은 첫째는 편의성이고 둘째 병렬성이다. 음성으로 대화하며 키보드 치는 등의 동시적 처리가 가능하며, 정보를 사용하거나 입력하는데 자유로이 움직이면서 정보의 입출력이 가능하다는 장점이 있다. 셋째 자료입력의 고속화와 원거리 입력이 가능하다.

3.1 소리인식 프로세서

소리인식 프로세서 프로그램은 음성인식 Library를 이용하여 사용자가 쉽게 음성인식 결과를 확인 할 수 있도록 개발된 프로그램으로서 사용자 Application에 포함이 되어 있지 않고 윈도우 Tray 프로그램으로 동작된다.

이 프로그램이 동작하고 있는 동안 마이크로를 통하여 입력되는 정보는 사용자가 입력한 음성단어와 분석 작업을 통하여 대칭되는 단어를 사용자 Application에 매칭단어 및 인식률을 메시지로 전달하는 방법으로 구성되었다.

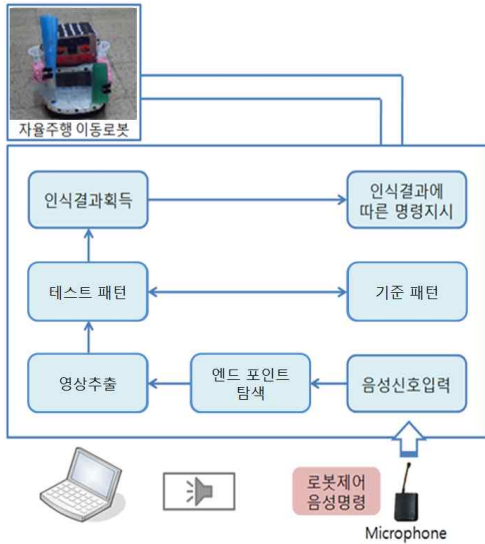


Fig. 2. Schematic diagram of robot system by voice command.

3.2 소리인식 기반 주행제어 알고리즘

(1) HMM(Hidden Markov model) 디코더

HMM 모델은 연속 HMM과 이산 HMM으로 나뉘는데, 연속 HMM이 음성인식, 화자 인증 또는 인식 등에서 우수한 성능을 보인다. 연속 HMM은 연속 관측 확률밀도함수를 사용하는데 아래의 식(1), (2)로 표현된다.

$$b_i(x_t) = \sum_{m=1}^{N_m} g_m \Phi_{im}(x_t; \mu_{im}, \sum c_{im}) \quad (1)$$

$$, 1 \leq i \leq N_s$$

$$\sum_{m=1}^{N_m} c_{im} = 1, 1 \leq i \leq N_s \quad (2)$$

$$c_{im} \leq 0, 1 \leq i \leq N_s, 1 \leq m \leq N_m$$

위 식에서 x_t 는 관측벡터이며 Φ_{im} 는 커널함수로 i 번째 상태의 가중치가 c_{im} , 평균벡터 μ_{im} , 공분산 \sum_{im} 과 N_m 은 총 개수이다.

커널함수 Φ_{im} 는 가우시안분포이며, HMM 모델은 위 관측모델을 포함하여 다음과 같이 표기된다.

$$\lambda = (A, B, \pi) \quad (3)$$

이때 A는 상태전이행렬, B는 방사행렬이고, π 는 초기 확률 벡터이다.

관측패턴 $\{X_t\}(t=1, 2, \dots, T)$ 와 HMM이 $\lambda = (A, B, \pi)$ 로 이루어진 확률 $P(X|\lambda)$ 를 구하기 위해 순방향 과정을 사용하면 일반적인 상태열은 $Q = [q_1, q_2, \dots, q_t, \dots, q_T]$ 로 나타낸다. 순방향 변수 $\alpha_t(i)$ 는 식(4)로 표현된다.

$$\alpha_t(i) = P(x_1, x_2, \dots, x_t, q_t = S_i | \lambda) \quad (4)$$

위 식은 모델 λ 이 주어지고 시간 t 에서 상태 변수가 S_i 일때 $t=1$ 에서 t 까지 관측패턴의 확률이다. 다음 식은 $\alpha_t(i)$ 를 구하기 위한 반복적인 과정이다.

$$i) \alpha_1(i) = \pi_i b_i(x_1), 1 \leq i \leq N_s \quad (5)$$

$$ii) \alpha_{t+1}(j) = \left(\sum_{i=1}^{N_s} \alpha_t(i) a_{ij} \right) b_j(x_{t+1}) \quad (6)$$

$$iii) \alpha_T(i) = P(x_1, x_2, \dots, x_T, q_T = S_i | \lambda) \quad (7)$$

또한 $P(X|\lambda)$ 은 $\alpha_t(i)$ 의 전체 합이므로 다음과 같다.

$$P(X|\lambda) = \sum_{i=1}^{N_s} \alpha_T(i) \quad (8)$$

HMM 분류기는 출력값을 로그함수의 형태를 취하므로 $l(X|\lambda_n)$ 으로 간략화 하며 화자인식에 대한 결정규칙은 $\arg \text{Max}_i l(X|\lambda_i)$ 로 나타낸다.

(2) 변형된 HMM 디코딩

모든 측정은 주변의 잡음 또는 관측 오차가 존재하므로, 정확한 측정을 불가능하게 만든다. 그러므로 HMM 디코딩 과정에 관측신뢰도를 사용하는 것은 충분히 타당한 접근 방법이다. 각각의 관측된 벡터에 대한 적당한 신뢰도 값

을 가지고 있을 때, 이를 ρ_t 라고 표현하자. ρ_t 는 t 번째 관측벡터의 신뢰도를 나타내는 멤버십 값으로 0과 1사이의 값을 갖는다. 따라서 본 연구에서 관측패턴은 $\{x_t, \rho_t\}$, $t = 1, 2, \dots, T$ 와 같으며, 모델은 HMM $\lambda = (A, B, \pi)$ 와 같다.

제안된 HMM 디코딩 방법은 기본적으로 식(5)에서 식(8)의 과정을 반복한다. 단, 식(6)에서 사용되는 관측확률 $b_j(x_{t+1})$ 를 관측신뢰도 ρ_{t+1} 에 의하여 가중함으로써 변형되게 된다. 따라서 본 연구에서 제안하는 변형된 디코딩(순방향과정)은 식(6)을 식(9)와 같이 변형함으로써 이루어진다.

$$\alpha_{t+1}(j) = \left(\sum_{i=1}^{N_s} \alpha_t(i) a_{ij} \right) \{ b_j(x_{t+1})^{\rho_{t+1}} \} \quad (9)$$

$$1 \leq t \leq T-1, 1 \leq j \leq N_s$$

3.3 성능실험

Table 1에서 제어방법 및 조건은 PC기반 음성 S/W 명령어로 지령을 하였고 화자독립방식에 의해 음성전달을 하였다. 그리고 무선통신 리모컨 제어방식 동시 적용하여 RF무선 통신 및 무선랜 통신가능하게 하였다. 인터페이스로는 RS-232C를 사용하였으며 마이크론 송신 장치를 이용하여 음성명령을 입력하도록 하였다. Table 2는 로봇의 시스템에 저장해놓은 음성단어이다.

Table 1. Specification of voice recognition module

Function	Specification
운영방식	- 하드웨어적인 음성인식 모듈 (리모콘식 제어) - 소프트웨어적 음성인식 모듈 (PC기반 음성인식제어)
음성전달 방식	- 송수신 음원분석 후 무선통신 제어 명령 전달 - PC에서 음원 분석 후 무선 랜으로 제어명령
음성인식 알고리즘 (S/W , H/W)	- S/W적 음성인식 알고리즘 제공 - PC 기반 화자독립방식 음성인식 (300단어이상 음성인식 기능)
제어/통신방식 (S/W , H/W)	- PC기반 원격제어방식(S/W방식) - 무선통신(RF방법) 원격제어 방식 - 마이크론기반 리모콘 무선원격 제어방식 - RS-232 인터페이스 - 윈도우 XP 인터페이스(S/W)

Table 2. Voice command words of experiment

단어ID	단어이름	단어ID	단어이름
1	로봇전진	9	감상
2	로봇후진	10	전진
3	로봇정지	11	후진
4	로봇우로	12	출발
5	로봇좌로	13	가속
6	좌회전	14	감속
7	우회전	15	멈춤
8	음악	16	시작

음성인식 실험은 신뢰성을 위하여 3명의 서로 다른 목소리를 대상으로 위에서 제시한 조건에서 명령어를 각각 20번씩 발성하게 하고, 5번의 발성 음은 학습용에 사용하고 나머지 15번의 발성 음은 인식용으로 사용하여 실험 결과를 분석 평가하였다.

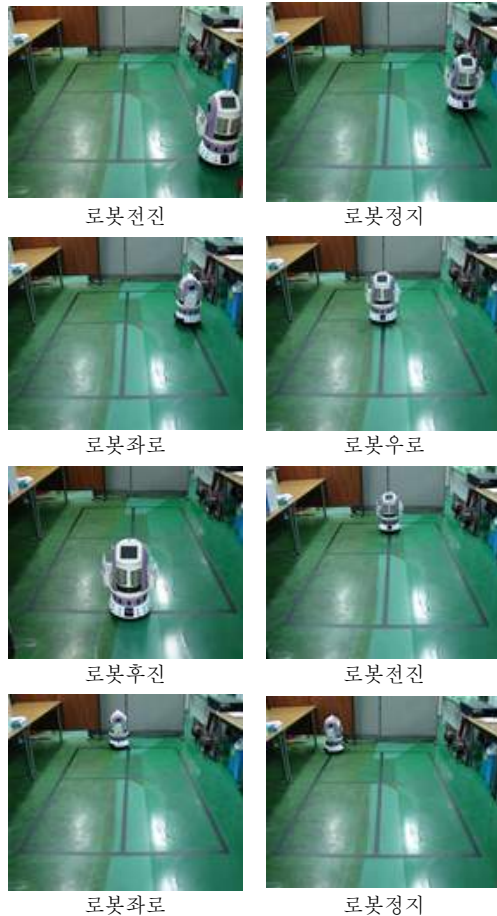


Fig. 3. Performance experiment scene of voice recognition

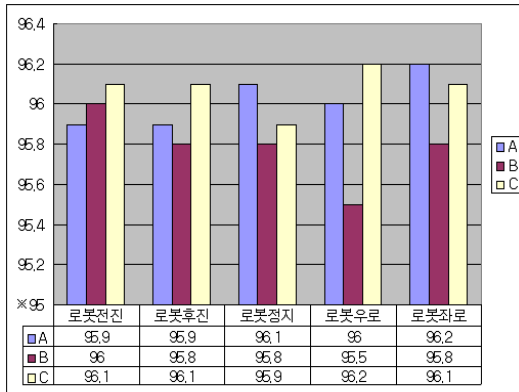


Fig. 4 Experiment result for travelling control of mobile robot

Fig. 4는 Table 2에 저장된 단어의 일부 단어에 대한 소리명령에 의한 로봇자율주행 실험의 인식률을 나타내고 있다. 또한 자동 음성명령 기준점의 인식률은 ※점인 95%로 설정하였다. A, B, C의 서로 다른 목소리로 각각의 명령어를 20번씩 발성했을 때 나타나는 인식률로써 평균적으로 95% 이상의 높은 음성인식 결과가 나왔다. 하지만 주변 노이즈가 거의 없는 실험실에서 실험을 진행하였기 때문에 향후 노이즈가 있는 경우의 연구가 필요할 것으로 생각된다.

4. 결 론

본 연구에서는 음성인식에 의한 무인원격 제어에 의한 로봇의 주행제어에 관한 연구를 수행하였다. 제안된 이동로봇의 음성인식 성능을 확인하기 위해 여러 번의 반복 성능 시험을 통하여 예증하였다. 또한 본 연구에서 오프라인 무선원격제어 자율주행기술 및 자율주행 시뮬레이터의 개발로 보다 다양한 방법의 자율주행 시스템을 음성인식에 의한 무인원격제어기법을 이용한 자율주행로봇의 주행제어를 통하여 무인 공장자동화실현 및 원거리 실시간 음성인식에 의한 무인 원격제어 성능을 확인하였다.

참고문헌

- 1) Rumelhart, D. E. and McClelland, J. L., Parallel Distributed Processing: Explorations in the Microstructure of Cognition, Vol. 1, MIT Press, Mass. (1987)
- 2) Mamdani, E. H., "Application of fuzzy algorithms for control of simple dynamic plant," Proc. IEEE, 121, 12, 1585, (1974)

(접수:2013.09.17, 수정:2013.10.04, 게재 확정:2013.10.22)